

文章编号: 0258-7025(2002)Supplement-0361-03

# 楔形平面阵列波导光栅作波分复用优化设计的仿真分析\*

丁么明 鲁德祖

(孝感学院物理系, 湖北 孝感 432100)

**摘要** 从波导信号辐射特性出发讨论了楔形平面波导的设计问题,对于在光通信中作波分复用渐变波导光栅,设计一最佳阵列波导,并对最佳条件、结构参数、传输效率进行了仿真计算。理论分析与仿真结果一致。

**关键词** 平面阵列波导, 波分复用, 最佳设计, 仿真

**中图分类号** TN929 **文献标识码** A

## Simulation Analysis of Optimum Design of a Planar Array of Tapered Waveguides in Wavelength Multiplexer

DING Yao-ming LU De-zu

(Department of Physics, Xiaogan University, Xiaogan 432100)

**Abstract** Based on signal radiation characteristic, the problem of designing a planar array is discussed. An array of tapered waveguides is used by optical communicated in wavelength multiplexer. A design procedure for optimizing the array is described. Optimum conditions, structure parameter and transmission efficiency are calculated by simulation. Theoretical analysis is concided with the simulation result.

**Key words** planar array waveguides, wavelength multiplex, optimum design, simulation

阵列波导光栅(AWG)作波分复用是一种极具潜力的新型器件。我们采用一优化楔形平面波导<sup>[1]</sup>,考虑信号在波导中的辐射特性,通过数值计算,讨论平面楔形 AWG 波导结构参数的理论计算问题,得到最佳条件、结构参数和传输效率,并进行仿真计算。

### 1 楔形波导优化设计

图1所示是二元平面阵列楔形波导结构图,波导间距  $a \gg \lambda/2$  ( $\lambda$  为光谱波长)。考虑长度为  $L$  的维面波导阵列,注意到阵列的有效区仅在图1的小扇形内(Brillouin 内),即  $|\theta| < r_c$ 。在该扇形区,在  $\theta_m$  方向传输效率  $\eta(\theta_m)$ ,用  $\eta_c$  表示  $\eta(\theta)$  的最大值。最优化阵列效率用  $\epsilon$  表示为<sup>[2]</sup>

$$\epsilon = \eta_c^2 \sin \gamma_c / \sin \gamma \quad (1)$$

对于给定  $\eta(\theta)$  的阵列,  $\eta_c$  是  $\gamma_c$  的函数,因此存在使  $\epsilon$  最大的  $\gamma_c$  的最佳选择。

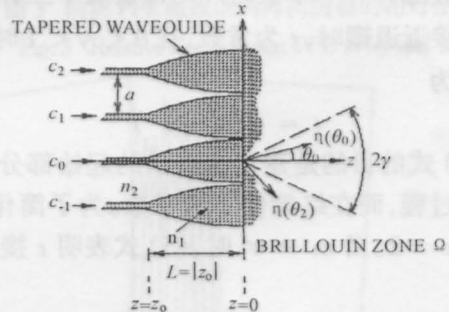


图1 平面阵列波导楔形结构图

Fig.1 Structure of planar array of tapered waveguides

探讨锥面阵列波导的最优化实际上转变为给定长度  $L$ , 求解  $\epsilon_m$  的最大值, 或给出  $\epsilon_m$  找出  $L$  的最小值, 也可以探讨在给定区间  $\gamma_c$  求出  $\eta_c$ 。

在  $z = |z_0|$  时, 波导渐变函数  $V(z)$  是连续的。由此损耗率  $\tau = 1 - \eta$  近似由下式确定

\* 湖北省教育厅重点科研项目(2001A27008)资助课题。

$$\tau = \int t \exp(-j\nu d\nu) \quad (2)$$

式中  $t d\nu$  是一微分耦合系数,  $\nu$  是相位。为了使  $\tau$  最小, 积分区间为整个渐变区域。在渐变区域终端, 两模远离同相, 选择  $V(z)$ , 使  $t = 0$ , 且随  $z$  增加而增加。这里选定

$$V(z) = 2\pi B\rho/(1 - \rho^2)^{1/2} \quad (3)$$

式中  $B$  是常数。在渐变的起始部分给  $V(z)$  赋有限值, 其波导渐变特性不会有太大的影响。(2) 式、(3) 式表明, 在渐变终端  $z = 0$ ,  $V(z) = 0$ , 由此限定了渐变始端和终端值。

对位置坐标  $y$  归一化, 即  $y = z/z_0 = -z/L$ , 这里  $-L < z < 0$ ,  $0 < y < 1$ ,  $m$  阶模  $y = 0$  的终端幅值为  $\tau = \int \exp(-j\nu) dt$ ,  $\nu$ 、 $T$  分别为模的相位和传输系数 ( $m$  阶模  $y = 1$  反射用  $\nu'$ 、 $T$  表述, 这里  $R$  为反射系数)。

利用文献[3]讨论的结论

$$\frac{dT}{dy} = \frac{1}{2(1 + \mu^2)} \frac{d\mu}{dy} \quad (4)$$

$$\text{令 } \nu = \omega(0) \int (1 + \mu^2)^{1/2} dy,$$

其中

$$\omega(0) = \frac{2\pi\delta\sigma L}{a\beta_0}, \quad \delta\sigma a = \pi - \sigma a, \quad \mu = \frac{V}{2\pi\delta\sigma a}$$

结合(4)式, 有

$$t = \frac{dT}{d\nu} = \frac{1}{W} \frac{1}{2(1 + \mu^2)^{3/2}},$$

$$\text{其中 } W = \frac{L}{a} \frac{2\pi\delta\sigma a}{\beta_0 a} \frac{1}{dV/dy}$$

下面通过选择  $V(z)$  改进阵列传输效率。当衍射  $\varphi_0$  和  $\varphi_{-1}$  接近退耦时,  $t$  为常数, 在  $0 < y < 1$  时选择  $t$  的分布为

$$t = C(1 - y^m) \quad (5)$$

选择(5)式的目的是建立在锥状的起始部分形成  $t$  的渐变过程, 而在终端使  $t$  为常数。为了简化, 这里选择,  $m = 2$ 。当  $m \rightarrow \infty$  时, (5) 式表明  $t$  接近常数  $C$ 。

对于确定  $V(z)$ , 根据(4)式、(5)式得到:

$$2\omega(0)t dy = d\mu/(1 + \mu^2)^{3/2}$$

左边的积分结果用  $\rho(y)$  代替<sup>[4]</sup>, 解出  $\mu$  为

$$\mu = \rho(y)/[1 - \rho^2(y)]^{1/2}$$

$$\text{其中 } \rho(y) = 2C\omega(0) \left[ y - \frac{y^{m+1}}{m+1} \right] \quad (6)$$

由于输入波导退耦合, (6) 式中  $C$  的选择必须满足  $z \rightarrow z_0$  时  $V(z) \rightarrow \infty$ , 这实际上要求  $\rho(1) =$

1, 因此  $m = 2$  时

$$\rho(y) = \frac{3}{2} \left( y - \frac{y^3}{3} \right) \quad (7)$$

(7) 式为楔形平面波导渐变参数。结合(3)式得到图2所示。图2表明,  $V(z)$  的变化是非线性的。

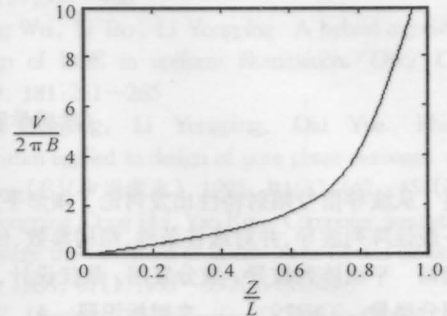


图2 最佳阵列  $V(z)$  变化曲线

Fig.2 Transition curve  $V(z)$  for an optimized array

上面讨论  $V(z)$  是连续的, 若考虑到  $z = z_0$  处有奇点出现。归一化坐标  $y$  表示为

$$y = (1 - y_0)z/z_0 + y_0 \quad (8)$$

这种变化对应区间为  $y_0 < y < 1$ , 因此在变换末端产生一个非零值  $\rho(y_0)$ 。这种产生, 在  $z = 0$  时  $V(z)$  是不连续的。依(4)式

$$\tau = \frac{\mu}{\sqrt{2(1 + \mu^2 + \sqrt{1 + \mu^2})}^{1/2}} + \int \exp(-j\nu) dT \quad (9)$$

$$\text{其效率为 } \eta \approx 1/(1 + |\tau|^2) \quad (10)$$

## 2 仿真优化选择

利用(9)式和(10)式, 对于任意  $\eta(\theta)$  的  $\epsilon_m$  值可近似为<sup>[5]</sup>:

$$\epsilon_m = L/(a^2\beta_0) \approx L/(ka^2)$$

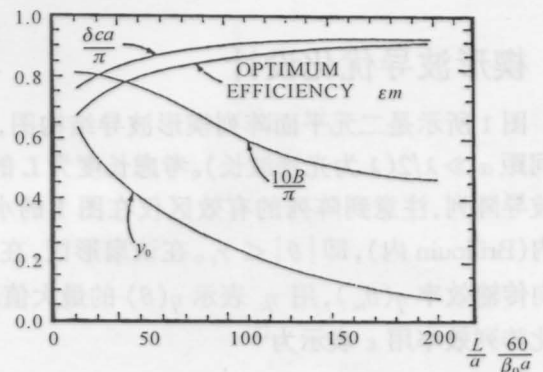


图3 最佳设计参数  $L/a$  与传输效率

Fig.3 Optimum design parameters and optimum performance

这里  $\eta$  最佳值由  $\epsilon_m$  最大值确定。图 3 给出其关系曲线, 图中标明最佳参数和最佳效率  $\epsilon_m$ 。图 3 表明,  $L/(a^2\beta_0) > 150$  时,  $y_0$  值很小, 此时非连续的  $V(x)$  值也很小, 对  $\epsilon_m$  没有太大的影响。

### 3 结 论

以一柱状波导为例, 计算有关最佳参数。考虑一连续柱状阵列波导的折射率为  $n_2(z)$ 。如前所述, 阵列波导的效率由  $(ka)^2$  的傅里叶系数第一项决定

$$V \approx 2n\Delta nk_0^2 a^2 \sin(l\pi/a)/\pi$$

这里  $\Delta n = n_1 - n_2$ ,  $n = (n_1 + n_2)/2$

$l$  为低折射率的柱状带宽。选择  $a = 2l$ ,  $\beta_0 a = 60$ ,  $V$  的初始值为  $V(z_0) = 60$ , 以保证波导在  $z \approx z_0$  处忽略模间耦合。在波导始端波函数  $\Psi(x, z)$  由  $z = z_0$  的基模决定, 若初始值确定,  $\Psi(x, z)$  通过波方程的积分得到。其结果为  $L/a = 150/\beta_0 a$ , 如图 4 所示。在输入端, 波导间的耦合很小, 因此  $\Psi(x, z)$  被约束在本波导内。但到了锥状终端, 耦合较大, 其部分能量传输到相邻波导, 形成串音<sup>[6]</sup>。选取  $L/a = 30\beta_0, 50\beta_0, 150\beta_0$ , 对应的效率由 (10) 式计算出分别为 0.69、0.78、0.90。因此, 它说明理论推导结果:  $\epsilon_m$  主要由锥状波导终端模相互作用引起是正确的。

通过以上讨论, 我们认为, 通过对阵列面  $V(z)$  的恰当设计, 使布里渊区的中心区域  $\Omega$  辐射能量最大, 并且得到阵列长度的一个最小面。为楔形阵列波导在光通信选频、耦合、开关等方面应用作了些有益的理论探讨。

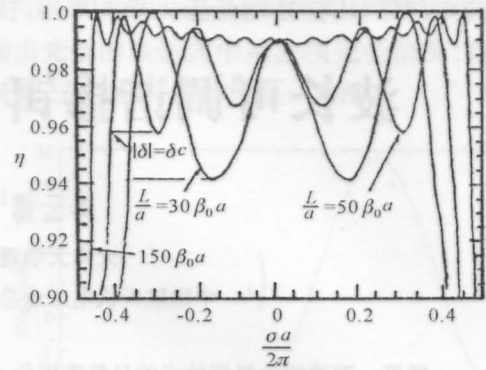


图 4  $z$  为特定值时  $|\Psi(x, z)|^2$  与  $x$  关系曲线  
Fig.4  $|\Psi(x, z)|^2$  vs  $x$  for  $z = 0.58Z_0$  and  $z = 0$

### 参 考 文 献

- 1 丁么明, 张国平. 楔形平面 AWG 优化设计的数值计算. 半导体光电, 2001, 6(5):323~326
- 2 C. Dragone Optimum design of a planar array of tapered waveguides. *J. Opt. Soc. Am. A*, 1990, 7(11):2081~2093
- 3 C. Dragone. Efficiency of a periodic array with nearly ideal element pattern. *IEEE Photon Technol. Lett.*, 1989, 1(3):238~249
- 4 C. Dragone, C. H. Henry, I. P. Kaminow *et al.*. Efficient multichannel integrated optics star coupler on silicon. *IEEE Photon. Technol. Lett.*, 1989, 1(3):241~243
- 5 M. K. Smit. New focusing and dispersive planar component based on an optical phased array. *Electron. Lett.*, 1988, 24(7):385~386
- 6 H. Takahashi, S. Suzuki, K. Kato *et al.*. Arrayed-waveguide grating for wavelength division multi/demultiplexer with nanometer resolution. *Electron. Lett.*, 1990, 26(2):87~88